

# СТРУКТУРА ПОНДЕРОМОТОРНЫХ СИЛ, ДЕЙСТВУЮЩИХ НА ЭЛЕКТРОН В ЛАЗЕРНЫХ ПОЛЯХ РЕЛЯТИВИСТСКОЙ ИНТЕНСИВНОСТИ

*В. Д. Таранухин\**

*Московский государственный университет им. М. В. Ломоносова  
119899, Москва, Россия*

Поступила в редакцию 6 октября 1999 г.

Методом усреднения по собственному времени ведущего центра электрона получено выражение для пондеромоторной силы, действующей на классический электрон в слабо неоднородном поле произвольной интенсивности. Показано, что в сверхсильных (релятивистских) полях эта сила приобретает вихревой характер и зависит от поляризации поля. На основе этого эффекта возможна разработка систем принципиально нового типа для ускорения или удержания заряженных частиц.

PACS: 41.75.-i, 41.85.Ja, 52.20.Dq, 52.35.Mw

## 1. ВВЕДЕНИЕ

Проблема взаимодействия свободных (квазисвободных) электронов с лазерными полями большой интенсивности приобрела в последнее время большое значение в связи с созданием лазерных источников с пиковой интенсивностью  $I \sim 10^{18}\text{--}10^{21}$  Вт/см<sup>2</sup>. В полях такой интенсивности электрон приобретает скорости, сравнимые со скоростью света, и учет релятивистских эффектов становится принципиально важным. Важно также, что такие поля достигаются при генерации ультракоротких лазерных импульсов и при жесткой фокусировке излучения, когда помимо осцилляторной компоненты движения существенное значение имеет дрейф электрона вследствие временной и пространственной неоднородностей поля. Этот дрейф описывают с помощью пондеромоторных сил  $\mathbf{F}_L$ . В настоящем сообщении обсуждаются новые особенности этих сил в сверхинтенсивных лазерных полях, действующих 1) на свободные электроны (в общем случае, на любые заряженные частицы), влетающие извне в лазерный пучок, 2) на фотоэлектроны, появляющиеся внутри лазерного пучка в процессе (многофотонной) ионизации атомов.

В относительно слабых полях усредненное (по быстрым осцилляциям) движение электрона (пондеромоторный дрейф) описывают силой Гапонова–Миллера [1], имеющей градиентный характер:

$$\mathbf{F}_L = -\nabla U_p, \quad (1)$$

где

$$U_p = \frac{e^2 E_{00}^2}{4m\omega^2}$$

— пондеромоторный потенциал поля — скалярная функция, полностью определяющая вектор  $\mathbf{F}_L$  ( $E_{00}$  и  $\omega$  — амплитуда и частота поля,  $e$  и  $m$  — заряд и масса электрона). Учет релятивистских эффектов при расчете пондеромоторных сил проводился в ряде работ. В [2] исследован случай влета электрона в поле с большой (релятивистской) скоростью. Однако само поле считалось достаточно слабым. Авторы [3] для расчета пондеромоторных сил в сильных полях производили усреднение релятивистских уравнений движения по фазе

$$\eta = \omega t - \mathbf{k}\mathbf{r}$$

( $t$  — время,  $\mathbf{r}$  — координата электрона,  $\mathbf{k}$  — волновой вектор излучения). В [4] по этому же параметру усреднялась функция Лагранжа.

\*E-mail: tvd@ssf.phys.msu.su

В настоящей работе сила  $\mathbf{F}_L$  найдена (следуя процедуре Гапонова–Миллера [1]) методом усреднения уравнений движения по времени  $t$  в лабораторной системе координат (Л-системе) или по времени  $t'$  в сопровождающей системе координат (С-системе), в которой электрон в среднем покоятся. Такая процедура усреднения представляется наиболее последовательной, она впервые позволила выявить новые свойства пондеромоторных сил в сверхсильных полях. Расчет выполнен для случая достаточно слабой пространственной (временной) неоднородности лазерного излучения без каких-либо ограничений на его интенсивность. Показано, что пондеромоторная сила, действующая на электрон в С-системе, имеет в общем случае не градиентный характер (хотя по-прежнему может быть описана одной скалярной функцией — эффективной массой электрона в поле). Найдено также, что эта сила зависит от поляризации лазерного поля, что существенно для создания новых систем ускорения или удержания заряженных частиц в сверхсильных полях.

## 2. МЕТОДИКА РАСЧЕТА

Будем предполагать пространственную (временную) неоднородность поля слабой, так что справедливы соотношения

$$\Delta r_f \gg \lambda, \quad \Delta t_f \gg \omega^{-1}, \quad (2)$$

где  $\lambda$  — длина волны, а  $\Delta r_f$  и  $\Delta t_f$  — характерные пространственные и временные масштабы изменения интенсивности лазерного излучения. Так как смещение электрона  $\delta r_e$  за время оптического цикла в любых полях и при любых начальных скоростях меньше  $\lambda$ , условия (2) позволяют считать изменения амплитуды поля (на расстояниях  $\sim \delta r_e$  или за время  $\sim \omega^{-1}$ ) малыми по сравнению с изменениями его фазы. С учетом (2) представим электрическую компоненту поля в виде

$$\mathbf{E}(\mathbf{r}, t) = \mathbf{E}_0(\mathbf{r}, t) \cos[\eta + \varphi(\mathbf{r}, t)] \approx \mathbf{E}^0 + \Delta\mathbf{E}, \quad (3)$$

где  $\mathbf{E}^0 = \mathbf{E}_{00} \cos \eta$  описывает плоскую волну, а  $\Delta\mathbf{E}$  учитывает в общем случае отличие реального поля от  $\mathbf{E}^0$  по амплитуде, фазе и поляризации:

$$\Delta\mathbf{E} = \delta\mathbf{E}_a + \delta\mathbf{E}_\varphi + \delta\mathbf{E}_e.$$

В параксиальных пучках радиуса  $r_0$  изменение поляризации поля (на расстояниях  $\sim r_0$ )

$$\left| \frac{\delta\mathbf{E}_e}{\mathbf{E}_{00}} \right|_{max} \sim \frac{\lambda}{r_0} \ll 1$$

(см. [5]). При этом

$$\left| \frac{\delta\mathbf{E}_e}{\mathbf{E}_{00}} \right| \sim \left( \frac{\lambda}{r_0} \right)^2$$

для смещений электрона  $\delta r_e \leq \lambda$ , и вкладом в  $\Delta\mathbf{E}$  от изменения поляризации будем пренебрегать. Магнитное поле вычисляется точно по  $\mathbf{E}(\mathbf{r}, t)$  из уравнений Maxwella:

$$\mathbf{B} = \mathbf{B}^0 + \Delta\mathbf{B},$$

где  $\mathbf{B}^0$  соответствует плоской волне.

В соответствии со сделанным предположением будем считать, что в нулевом приближении поле является плоской волной (в любой системе координат). При этом полный импульс электрона равен

$$\mathbf{p} = \mathbf{p}^0 + \Delta\mathbf{p}$$

и справедливы следующие уравнения (торможение излучением не учитывается):

$$\frac{d\mathbf{p}^0}{dt} = e\mathbf{E}^0 + e[\mathbf{v}^0 \times \mathbf{B}^0], \quad (4)$$

$$\frac{d\Delta\mathbf{p}}{dt} = e\Delta\mathbf{E} + e[\mathbf{v}^0 \times \Delta\mathbf{B}] + e[\Delta\mathbf{v} \times \mathbf{B}^0], \quad (5)$$

где  $\mathbf{v} = \mathbf{v}^0 + \Delta\mathbf{v}$  — скорость электрона,  $\mathbf{v}^0$  — скорость электрона в плоской волне (используется система единиц, в которой скорость света  $c = 1$ , и кулоновская калибровка потенциала:  $\text{div } \mathbf{A} = 0$ ). Усреднение (5) по времени в С-системе (символически обозначенное оператором  $\hat{T}$ ) приводит к выражению для пондеромоторной силы

$$\hat{T}[d\Delta\mathbf{p}/dt] \rightarrow \mathbf{F}_C. \quad (6)$$

При этом силу  $\mathbf{F}_C$  можно выразить через параметры поля в Л-системе, а соотношение

$$\mathbf{F}_L = \frac{\mathbf{F}_C + [(\gamma - 1)/V_0^2] (\mathbf{F}_C \cdot \mathbf{V}_0) \cdot \mathbf{V}_0}{\gamma}, \quad (7)$$

$$\gamma = (1 - V_0^2)^{-1/2},$$

осуществляет связь между пондеромоторной силой  $\mathbf{F}_C$  в С-системе (движущейся со скоростью  $\mathbf{V}_0$  относительно Л-системы) и пондеромоторной силой  $\mathbf{F}_L$

в Л-системе. Предполагается, что скорость дрейфа электрона  $\mathbf{V}_0$  известна из начальных условий и решения уравнения движения ведущего центра электрона (в Л-системе) на предыдущем этапе

$$\gamma m \frac{d\mathbf{V}_0}{dt} = \mathbf{F}_L - (\mathbf{V}_0 \mathbf{F}_L) \mathbf{V}_0. \quad (8)$$

Если скорость дрейфа является нерелятивистской, то  $\mathbf{F}_L \approx \mathbf{F}_C$ .

### 3. ПОНДЕРОМОТОРНЫЕ СИЛЫ В ИМПУЛЬСНОЙ ПЛОСКОЙ ВОЛНЕ

Рассмотрим сначала действие пондеромоторных сил на фронте и спаде импульсной плоской волны. В этом случае существует строгое решение [6] для эволюции электрона — его координаты  $\mathbf{r}(\eta)$  и импульса  $\mathbf{p}(\eta)$  в Л-системе. Это решение, однако, является неявным, и использование процедуры усреднения, приводящей к явному виду для пондеромоторной силы, является полезным (например, для описания новых эффектов типа градиентной стабилизации ионов относительно тунNELьной ионизации в сверхсильных лазерных полях [7]).

Дифференцируя выражение для импульса  $\mathbf{p}(\eta)$  [6] по «лабораторному» времени  $t$ , получим выражение для силы, действующей на электрон. Усреднение быстрой фазы этой силы по  $t$  приводит к выражению для пондеромоторной силы (ср. с (1))

$$\mathbf{F}_L = \hat{\mathbf{x}}\omega \frac{\partial U_p^*}{\partial \eta} = -\nabla U_p^*, \quad (9)$$

где  $U_p^*$  — пондеромоторный потенциал с учетом эффективной массы электрона  $m^*$  в поле,  $\hat{\mathbf{x}}$  — орт вдоль направления волнового вектора  $\mathbf{k}$ . Сила (9) формально имеет градиентный вид, хотя отлична от нуля только ее компонента вдоль  $\mathbf{k}$ .

### 4. ПОНДЕРОМОТОРНЫЕ СИЛЫ В СТАЦИОНАРНОМ ЛАЗЕРНОМ ПУЧКЕ

Считаем, что в точке, где в данный момент находится электрон, поле в нулевом приближении является плоской волной, в частности, в С-системе, в которой электрон в среднем покоятся, и скорость которой  $\mathbf{V}_0$  относительно Л-системы предполагается известной из решения уравнения (8) на предыдущем этапе. Рассмотрим сначала линейно поляризованное поле. Направим орты  $\hat{\mathbf{y}}$  по  $\mathbf{E}^0$ ,  $\hat{\mathbf{z}}$  — по  $\mathbf{B}^0$ ,

а  $\hat{\mathbf{x}}$  — вдоль  $\mathbf{k}$ . Параметрическое решение уравнения (4) для координат электрона в С-системе имеет вид [6]

$$\begin{aligned} x &= -\frac{e^2 E_{00}^2}{8m^{*2}\omega^3} \sin 2\eta, \\ y &= -\frac{e E_{00}}{m^{*2}\omega^2} \cos \eta, \quad z = 0, \end{aligned} \quad (10)$$

где  $m^{*2} = m^2 + e^2 E_{00}^2 / 2\omega^2$ , а связь между временем  $t'$  (собственным временем ведущего центра электрона:  $dt' = dt/\gamma$ ) и фазой  $\eta$  задается соотношением

$$t' = \frac{\eta}{\omega} - \frac{e^2 E_{00}^2}{8m^{*2}\omega^3} \sin 2\eta. \quad (11)$$

Для нахождения силы  $\mathbf{F}_C$  (6) необходимо определить приращения  $\Delta\mathbf{E}$ ,  $\Delta\mathbf{B}$  и  $\Delta\mathbf{v}$  (см. (5)) за счет неоднородности поля. Разлагая (3) в ряд по  $\mathbf{r}$ , в первом приближении получим

$$\begin{aligned} \Delta\mathbf{E} &\approx \cos \eta (\delta\mathbf{r}_e \cdot \nabla) \mathbf{E}_0(\mathbf{r}_0) - \\ &- \mathbf{E}_{00} \sin \eta (\delta\mathbf{r}_e \cdot \nabla) \varphi(\mathbf{r}_0), \end{aligned} \quad (12)$$

$$\Delta\mathbf{v} \approx (\delta\mathbf{r}_e \cdot \nabla) \mathbf{v}^0(\mathbf{E}), \quad (13)$$

где  $\delta\mathbf{r}_e$  и  $\mathbf{v}^0 = \partial(\delta\mathbf{r}_e)/\partial t'$  — смещение и скорость электрона, рассчитанные в нулевом приближении (10) с учетом (11); в  $\mathbf{v}_0$  в качестве аргумента используется поле (3)

$$\mathbf{E}_{00} \rightarrow \mathbf{E}_0(\mathbf{r}), \quad \eta \rightarrow \eta + \varphi(\mathbf{r});$$

$\Delta\mathbf{B}$  рассчитывается из уравнений Максвелла.

Стационарный (в Л-системе) лазерный пучок в С-системе уже не является стационарным, и в приращения (12), (13) должны входить также слагаемые с временными производными от амплитуды и фазы поля  $\mathbf{E}$ , учитывающие неоднородность поля на масштабах  $\delta r_v \sim V_0/\omega$ , которую электрон испытывает за счет дрейфа. Если  $\delta r_v < \delta r_e$  (скорость дрейфа меньше скорости осцилляций электрона или неоднородность поля вдоль направления  $\mathbf{V}_0$  незначительна), то эффектами нестационарности можно пренебречь и использовать выражения (12), (13). В противоположном случае нестационарность поля будет давать основной вклад в пондеромоторную силу  $\mathbf{F}_C$ . Заметим, что в реальных ситуациях большой дрейфовой скоростью электрон обладает, как правило, в области относительно слабых полей (например, при влете в лазерный пучок или вылете из

него), а в области сильного поля скорость  $\mathbf{V}_0$  достаточно мала (за счет торможения электрона пондеромоторными силами после влета в пучок или за счет «нулевых» начальных скоростей фотоэлектронов при многофотонной ионизации атомов (ионов) в сильных полях [8]). Случай релятивистских скоростей  $\mathbf{V}_0$  и относительно слабых полей рассмотрен в [2]. Здесь же мы исследуем обратный случай, когда нестационарность (в С-системе) не играет принципиальной роли.

Используя (12), (13) в уравнении (5), после усреднения (6) по времени  $t'$  получим

$$\mathbf{F}_C = - \left( \nabla + \hat{\mathbf{y}}\Phi_y \frac{\partial}{\partial y} + \hat{\mathbf{x}}\Phi_x \frac{\partial}{\partial x} \right) m^*, \quad (14)$$

где

$$\Phi_y = \frac{2(1-2\beta)(1+\beta)(1-\beta_1)}{\beta\beta_1} \approx \beta(1+\beta)(1-2\beta),$$

$$\Phi_x = \frac{\beta^2}{2} + \frac{(1-2\beta)(1-\beta_1)}{\beta} \approx \frac{\beta(1-\beta)}{2},$$

$$\beta_1 = (1-\beta^2)^{1/2}, \quad \beta = U_p^*/m^*$$

(функции  $\Phi_{x,y}(\beta)$  показаны на рис. 1, штриховыми линиями показаны приближенные зависимости  $\Phi_{x,y}(\beta)$ ). Видно, что сила (14) в общем случае не является градиентной: ее вихревая часть содержит компоненты вдоль волнового вектора и поляризации электрического поля. В ультрарелятивистском случае  $\Phi_x \gg \Phi_y \approx 0$ . Вихревая часть силы  $\mathbf{F}_C$  содержит все четные степени амплитуды векторного потенциала поля и стремится к нулю при  $\mathbf{A} \rightarrow 0$ , при этом  $\Phi_{x max} \approx 0.125$ , а  $\Phi_{y max} \approx 0.168$  (заметим, что возможная зависимость силы  $F_L \sim E_{00}^4$  обсуждалась в [9]).

Аналогичный расчет для циркулярно поляризованного поля приводит к выражению (14) с  $\Phi_{x,y} = 0$ , т. е. пондеромоторная сила в этом случае остается градиентной в С-системе. Отметим также, что при любой поляризации поля градиент фазы  $\nabla\varphi(\mathbf{r})$  (как и в случае слабых полей) вклада в пондеромоторную силу не дает. Это свойство пондеромоторных сил нарушается при больших скоростях дрейфа  $\mathbf{V}_0$ .

Для приложений силу  $\mathbf{F}_C$  (14) следует выразить через параметры поля в Л-системе. Так как отношение  $E_{00}/\omega \sim |\mathbf{A}|$  сохраняется при преобразовании Лоренца, в (14) изменятся лишь характерные пространственные масштабы поля. Эти изменения

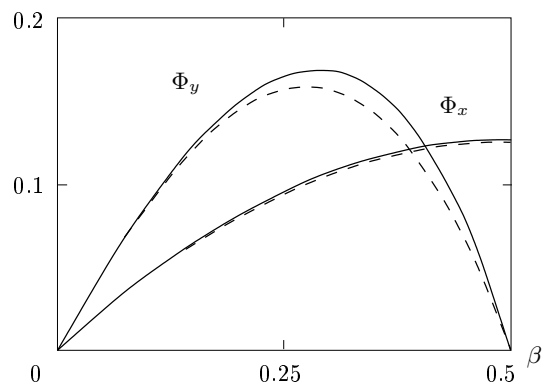


Рис. 1. Функции  $\Phi_{x,y}(\beta)$ , определяющие зависимость вихревой части пондеромоторной силы в С-системе от напряженности линейно поляризованного поля. Штриховыми линиями показаны приближенные зависимости  $\Phi_{x,y}$  от параметра  $\beta$  (см. текст)

(соответствующие лоренцовскому сокращению линейных размеров) являются в общем случае разными вдоль разных координатных осей и определяются направлением дрейфовой скорости  $\mathbf{V}_0$ . Следовательно, в (14) следует произвести замены

$$\frac{\partial}{\partial x} \rightarrow \gamma_x \frac{\partial}{\partial x_L}, \quad \frac{\partial}{\partial y} \rightarrow \gamma_y \frac{\partial}{\partial y_L}, \quad \frac{\partial}{\partial z} \rightarrow \gamma_z \frac{\partial}{\partial z_L}, \quad (15)$$

где  $\gamma_i = (1 - V_{0i}^2)^{-1/2}$ ,  $i = x, y, z$  (индекс  $L$  отмечает координаты в Л-системе). Эти замены нарушают, строго говоря, градиентность силы  $\mathbf{F}_C$  даже при  $\Phi_{x,y} = 0$ . Дополнительное нарушение этой градиентности происходит при преобразовании (7). Однако при достаточно малых скоростях  $\mathbf{V}_0$  основной вклад в вихревую часть силы  $\mathbf{F}_L$  дают члены  $\Phi_{x,y}$  (см. (14)).

Таким образом, формулы (7), (14) (или (9)) определяют пондеромоторные силы в лазерном поле произвольной интенсивности, что позволяет описать эволюцию электрона в таких полях с помощью уравнения (8). Структура этих сил гораздо сложнее, чем в нерелятивистском случае (1), и определяется в общем случае всеми четными степенями амплитуды лазерного поля. Комбинируя (7) и (8), окончательно получаем уравнение для дрейфовой скорости электрона в поле произвольной интенсивности:

$$m\gamma^2 \frac{d\mathbf{V}_0}{dt} = \mathbf{F}_C - \frac{\gamma - 1}{\gamma V_0^2} (\mathbf{V}_0 \cdot \mathbf{F}_C) \mathbf{V}_0, \quad (16)$$

где сила  $\mathbf{F}_C$  (14) должна быть выражена через параметры поля в Л-системе (см. (15)).

Вихревой характер пондеромоторных сил в сильных полях означает возможность совершения работы над зарядом в замкнутом цикле, т. е. возможность принципиально новых систем, ускоряющих или замедляющих (удерживающих) заряженные частицы. Обнаруженное отличие в пондеромоторных силах для линейно и циркулярно поляризованных полей позволяет разработку таких систем за счет комбинации сверхсильных полей различной поляризации. Проиллюстрируем эту возможность на простейшем примере электрона, влетающего с нерелятивистской скоростью  $V_0$  в сильное лазерное поле, обладающее существенной пространственной неоднородностью лишь вдоль одной координаты, например  $y$ . При этом будет меняться только  $y$ -компоненты дрейфовой скорости электрона  $V_{0y}$ . Из (16) в этом случае получаем

$$m \frac{dV_{0y}}{dt} = -(1 + \Phi_y) \frac{\partial m^*}{\partial y}, \quad (17)$$

откуда для изменения кинетической энергии электрона, обусловленной его дрейфовым движением, находим

$$\Delta\varepsilon = - \int_{y_0}^y (1 + \Phi_y) \frac{\partial m^*}{\partial y} dy, \quad (18)$$

где  $y_0$  — начальная координата заряда. Пусть лазерный пучок организован так, что от периферии пучка (откуда влетает электрон) до его оси поле обладает, например, круговой поляризацией, а от оси пучка в другую сторону — линейной поляризацией. Такие пучки могут быть реализованы в лазерных импульсах с меняющейся во времени поляризацией [10] за счет комбинации двух ортогональных полей с различающимися частотами. В этом случае  $\Phi_y = 0$  при влете электрона в пучок ( $y_0 < y < y_m$ , где  $y_m$  — координата, соответствующая оси пучка, т. е. максимальной амплитуде поля), а при вылете из пучка  $\Phi_y \neq 0$ :

$$\Phi_y \approx \frac{3\alpha^4 - 4\alpha^2 + 1}{4\alpha^6}, \quad \alpha = \frac{m^*}{m}. \quad (19)$$

Выражение (19) соответствует приближенной зависимости  $\Phi_y(\beta)$  (см. рис. 1). После пролета через такой пучок электрон приобретает дополнительную кинетическую энергию

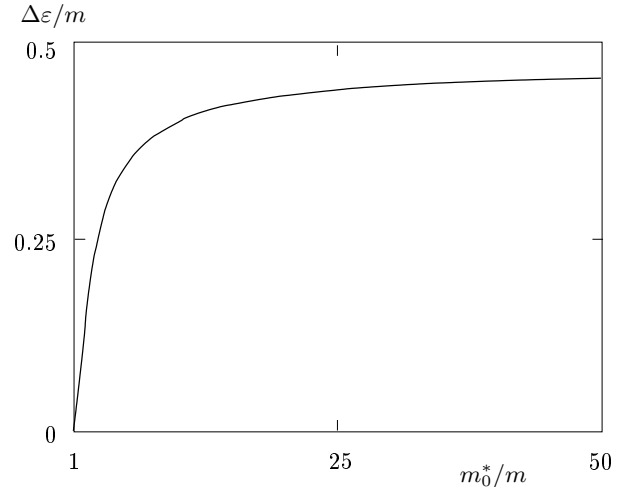


Рис. 2. Зависимость изменения дрейфовой энергии заряда при однократном прохождении лазерного пучка с комбинированной поляризацией поля от амплитуды поля на оси пучка ( $m_0^* = \sqrt{m^2 + e^2 E_{0m}^2 / 2\omega^2}$ )

$$\begin{aligned} \frac{\Delta\varepsilon}{m} &= \int_m^{m_0^*} \Phi_y(m^*) \frac{dm^*}{m} = \int_1^{\alpha_m} \Phi_y(\alpha) d\alpha \approx \\ &\approx \frac{7}{15} - \left( \frac{3}{4\alpha_m} - \frac{1}{3\alpha_m^3} + \frac{1}{20\alpha_m^5} \right), \\ \alpha_m &= \frac{m_0^*}{m}, \quad m_0^* = m^*(y_m). \end{aligned} \quad (20)$$

Зависимость этой энергии от эффективной массы  $m_0^*$  (от амплитуды поля на оси лазерного пучка  $E_{0m}$ ) показана на рис. 2. Видно, что уже при  $m_0^*/m = 10$  приращение энергии составляет значительную величину  $\Delta\varepsilon \approx 0.4m$ . Максимальное же приращение кинетической энергии заряда за один проход (при  $m_0^* \rightarrow \infty$ ) равно  $\Delta\varepsilon/m = 7/15$ .

Таким образом, возможен принципиально новый механизм ускорения заряженных частиц (либо их эффективного «охлаждения» или удержания в определенном объеме), основанный на использовании новых свойств пондеромоторных сил в релятивистских сильных лазерных полях.

Работа выполнена при финансовой поддержке Российского фонда фундаментальных исследований (грант № 98-02-17525).

## ЛИТЕРАТУРА

1. А. В. Гапонов, М. А. Миллер, ЖЭТФ **34**, 242 (1958).
2. Д. Р. Битук, М. В. Федоров, ЖЭТФ **116**, 1198 (1999).
3. S. P. Goreslavsky and N. B. Narozhny, J. Nonlinear Optical Physics and Materials **4**, 799 (1995).
4. D. Bauer, P. Mulser, and W.-H. Steeb, Phys. Rev. Lett. **75**, 4622 (1995).
5. X. Хаус, *Волны и поля в оптоэлектронике*, Мир, Москва (1988).
6. Л. Д. Ландау, Е. М. Лифшиц, *Теория поля*, Наука, Москва (1988).
7. R. V. Kulyagin and V. D. Taranukhin, Laser Physics **9**, 1026 (1999).
8. P. B. Corkum, Phys. Rev. Lett. **71**, 1994 (1993).
9. A. B. Серов, КЭ **25**, 197 (1998).
10. E. Constant, V. D. Taranukhin, A. Stolow, and P. B. Corkum, Phys. Rev. A **56**, 3870 (1997).